

환경 대기중 Nitrate의 생성에 관한 연구

A Study on the Formation of Nitrate in the Atmosphere

천 만 영 · 강 공 언 · 김 희 강

전국대학교 환경공학과

(원고접수 : 1992. 2. 6)

Man-Young Chun, Gong-Uen Kang and Hui-Kang Kim

University of Kon Kuk, Department of Environmental Engineering

(Received: 6 February 1992)

Abstract

A study on the formation of particulate nitrate(NO_3^-) and gaseous nitrate(HNO_3) in the atmosphere was carried out in Seoul from Oct 8 to 11 1991. To collect NO_3^- and HNO_3 in the ambient air, dual filter pack sampler(47mmφ) was used. In the dual filter pack sampler, the first filter was Teflon filter(poresize 1 μm) for collection of NO_3^- and the second filter was Nylon filter(poresize 0.45 μm) for HNO_3 . Particulate nitrate(NO_3^-) and Sulfate ions were analysed by Ion chromatography. HNO_3 concentration was higher in the day time (9.93 $\mu\text{g}/\text{m}^3$) than the night time(3.50 $\mu\text{g}/\text{m}^3$), and Particulate nitrate(NO_3^-) concentration was higher in the night time and early morning(6.21 $\mu\text{g}/\text{m}^3$) than the day time(4.31 $\mu\text{g}/\text{m}^3$). The conversion rate of NO_x to total nitrate(NO_3^- , HNO_3) was 7.57%/hr in the day time and 4.79%/hr in the night time, and total average conversion rate was 5.60%/hr.

1. 서 론

인구의 증가, 산업의 발달 및 생활 수준의 향상으로 에너지 소비는 날로 증가되고 있다. 그러나 현재 원자력과 수력에서 필요한 에너지의 일부분을 얻고는 있으나 아직은 그 차지하는 비율이 낮고 대부분이 석유·석탄과 같은 화석 연료에 의존하고 있다(동력자원부, 1990). 이러한 화석 연료의 연소시에는 분진뿐만 아니라 SO_2 , NO_x 및 HC등이 다량 배출되며, 이것은 도시 대기오염의 주범인 광화학 Smog 및 산성비의 원인이 되고 있다(김 희강외, 1988).

화석 연료의 연소시 생성되는 NO_x 는 환경 대기중에서 복잡한 물리·화학적 변화를 거쳐 가스상 Nitrate(Nitric Acid : HNO_3)와 입자상 Nitrate(NO_3^-)를 생성한다(B. R. Appel et al., 1978 ; J. B. Milford

et al., 1987 ; T. Okita et al., 1976 ; C. W. Spicer et al., 1982 ; C. W. Wang et al., 1975 ; 角 脇 恵, 1980). 이 Nitrate는 현재 문제가 되고 있는 산성우의 중요한 원인 물질중의 하나일 뿐만아니라 광산란으로 시계를 감소시키고 체내에 흡입되어 각종 호흡기 질환을 유발시킨다. 또 금속, 섬유, 피혁, 고무 및 건축물을 부식시켜 재산상의 손실을 가져오며,식물의 염록소와 기공 세포의 파괴 및 동물의 기관지를 자극 각종 질병을 유발시키는등 그 피해가 크다(김 희강외, 1988). 그럼에도 불구하고 국내에서는 아직 Nitrate 생성에 관한 연구는 거의 없을뿐만 아니라 외국의 경우도 Chamber 실험, Simulation 등을 통한 단면적인 연구 결과는 보고된 바가 있으나 환경 대기중에서 일사량, 기온, 습도 등의 여러 기상 인자와 O_3 , Sulfate등 다른 대기오염물과의 반응을 통한 총체적인 생성에 관한 연구는 아직 미흡

하다(김 회강외, 1986; J. B. Calvert, 1983; P. Middleton et al., 1979; A. E. Orel et al., 1977; C. W. Spicer, 1983).

이 연구는 도시 환경 대기중에서 가스상 및 입자상 nitrate생성에 영향을 미치는 여러 기상인자 및 타 대기오염물의 영향을 규명하는 것을 목적으로 하였다.

2. 실험

2.1. 포집 장치

대기중의 입자상 Nitrate(NO_3^-)와 가스상 Nitrate(HNO_3 : Nitric Acid)를 분리 포집하기 위하여 (그림 1)과 같은 2단 포집기(Norwegian사제, 47mm ϕ)를 사용하였다. 2단 포집기에 사용된 filter는 입자상 Nitrate 포집용으로 Teflon filter(Gelman사제, Poresize 1 μm)(Joh. W, 1978)를, 가스상 Nitrate 포집을 위하여 Nylon filter(Gelman사제, Poresize 0.45 μm)(J. Tesch et al., 1979)를 사용하였다.

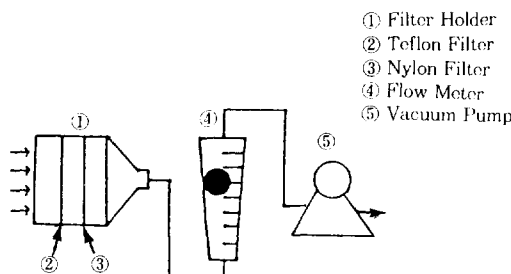


Fig. 1. Dual filter pack sampler

2.2. 포집 및 분석방법

2단 포집기에 Teflon 및 Nylon filter를 순서대로 장착하고 포집유량 25L/min으로 포집하였으며, 포집이 끝난 즉시 filter를 비이커에 넣고 종류수 20ml를 가하여 초음파 세척기에서 40분간 추출하였다. 추출액은 Whatman 41 filter로 여과한 후 이 용액을 분석액으로 하여 NO_3^- 및 SO_4^{2-} 를 Ion chromatography(Dionex사제, 2010i)를 사용하여 분석하였다.

일사량, 기온 및 습도는 기상청의 자료를 이용하였고 NO , NO_2 및 O_3 의 자료는 서울시 성수동 자동측정기 자료를 이용하였다.

2.3. 시료 포집 장소 및 기간

시료 포집은 서울시 성동구 모진동 건국대학교 공과대학 옥상(지상 약 15m)에서 91년 10월 8일부

터 11일까지 72시간 동안 각 성분의 경시 변화를 보기 위하여 주간에는 2시간, 야간에는 3~6시간 간격으로 연속 포집하였다.

3. 결과 및 고찰

실험 기간중 상대습도(RH), 기온, 일사량등의 기상인자와 대기중의 NO , NO_2 , O_3 농도 그리고 2단 포집기로 포집한 NO_3^- , SO_4^{2-} 및 HNO_3 의 시간별 농도 변화를 표 1과 그림 2에 나타내었으며, 각 성분간의 상관관계는 표 2와 같다.

실험 결과 가스상 Nitrate(HNO_3)의 72시간 평균 농도는 $6.27\mu\text{g}/\text{m}^3$ 이었으며 주간(09:00-17:00시)에는 $9.93\mu\text{g}/\text{m}^3$, 야간 및 이른 아침(20:00-06:00시)에는 $3.50\mu\text{g}/\text{m}^3$ 으로 주간이 야간보다 2.8배 더 높았다. 그리고 입자상 nitrate(NO_3^-)의 72시간 평균 농도는 $5.22\mu\text{g}/\text{m}^3$ 이었으며 주간에는 $4.31\mu\text{g}/\text{m}^3$, 야간 및 이른 아침에는 $6.21\mu\text{g}/\text{m}^3$ 으로 야간 농도가 주간보다 1.5배 더 높았다.

HNO_3 농도와 일사량, O_3 , 기온 및 습도와의 상관 계수는 각각 0.8270, 0.6767, 0.6047 그리고 -0.5735로 HNO_3 농도와 일사량, O_3 및 기온과는 큰 상관성을 나타내었고 습도와는 역상관성을 보여 일사량이 많고 기온이 높으며 습도가 낮은 주간에는 HNO_3 농도가 높았고 습도가 높고 기온이 낮은 야간 및 이른 아침에는 농도가 낮았다.

광화학 활성이 큰 주간에 HNO_3 농도가 높은 것은 O_3 가 광해리되어 산소 Radical이 생기고 이것이 대기중의 수증기와 반응하여 OH radical을 생성하며 이 radical이 NO_2 와 반응하여 HNO_3 를 생성하기 때문이다. 또 OH radical은 주간에 탄화수소에 의하여 생성된 HO_2 나 H_2O_2 등의 과산화물에 의해서도 생성되지만 그 양은 많지 않은 것으로 알려져 있다 (D. F. Miller et al., 1975; J. G. Calvert et al., 1983).

주간에는 광화학 작용에 의하여 O_3 , H_2O_2 등의 과산화물이 많이 생성되고(김 회강외, 1988; C. C. Wang et al., 1975) 이 과산화물에 의하여 SO_2 가 기상산화되어 H_2SO_4 를 생성하게 되며(Orel, A. E. et al., 1977; S. P. Sander et al., 1976) 이 H_2SO_4 는 입자상 Nitrate(NO_3^-)와 반응하여 HNO_3 와 Sulfate를 생성하는 것으로 알려져 있다(B. R. Appel et al., 1981). 이 외에도 주간에는 광화학 Oxidant인 알데히드(R-CHO)에 의하여 HNO_3 가 생성되며 기온이 높고 습도가 낮은 주간에는 NH_4NO_3 가 해리되어 HNO_3 를 생성하는 것으로 알려져 있다(J. G. Calvert et al., 1983; B. R. Appel, 1980).

Table 1. Variations of RH, Solar Radiation, Temperature and NO, NO₂, O₃, HNO₃, NO₃⁻ and SO₄²⁻ concentration in ambient air.

No	Sampling Period	NO (ppb)	NO ₂ (ppb)	O ₃ (ppb)	RH	Temp (%)	S. R (0.01 MJ/m ²)	HNO ₃ ($\mu\text{g}/\text{m}^3$)	NO ₃ ⁻ ($\mu\text{g}/\text{m}^3$)	SO ₄ ²⁻ ($\mu\text{g}/\text{m}^3$)
1	'91.10.8.06-09	92.5	47.0	1.3	75	10.6	25.5	8.19	5.43	6.21
2	09-11	76.0	52.3	7.3	56	16.2	131.0	4.92	4.01	7.12
3	11-13	21.0	30.0	23.3	48	20.0	210.3	10.59	3.91	7.30
4	13-15	15.3	24.7	28.3	44	21.7	192.7	12.66	5.14	7.59
5	15-17	17.0	30.7	23.7	43	22.0	101.3	9.17	5.47	6.09
6	17-20	39.3	48.3	7.5	51	19.0	11.0	2.57	5.39	5.92
7	20-24	22.2	38.9	8.2	68	16.0	0.0	1.95	6.47	3.36
8	10.9.00-06	13.9	30.7	8.4	75	13.4	0.0	3.44	6.38	2.85
9	06-09	77.5	44.8	1.0	79	12.4	29.3	8.88	7.03	3.14
10	09-11	73.3	56.7	7.7	54	17.4	135.0	9.08	4.02	5.23
11	11-13	23.0	30.0	21.0	41	21.3	215.7	10.90	4.18	6.12
12	13-15	17.7	25.0	24.3	34	23.4	205.3	12.14	4.59	4.85
13	15-17	15.7	28.0	22.3	34	23.7	118.0	8.13	3.82	4.80
14	17-20	19.5	38.0	13.8	42	20.2	14.2	5.47	6.52	3.07
15	20-24	10.8	32.8	15.4	53	16.3	0.0	4.10	6.68	3.57
16	10.10.00-06	13.4	37.1	5.1	68	12.6	0.0	2.40	7.09	4.14
17	06-09	36.0	42.5	3.5	67	13.0	29.5	6.64	6.15	4.83
18	09-11	35.7	44.3	12.3	47	18.3	132.7	8.79	4.64	5.16
19	11-13	15.0	28.0	26.0	39	20.6	208.3	9.14	4.38	5.01
20	13-15	15.0	26.0	25.3	35	22.8	199.3	13.32	3.67	6.23
21	15-17	20.0	29.3	20.0	33	23.4	115.3	10.35	3.84	6.01
22	17-20	25.8	43.5	11.3	39	20.5	13.4	7.14	5.12	4.29
23	20-24	22.6	46.0	7.2	49	16.4	0.0	5.95	5.45	4.01
24	10.11.00-06	27.4	40.4	4.7	59	12.7	0.0	3.66	5.20	3.70
Ave								6.27	5.22	

S. R : Solar Radiation.

Table 2. Correlation coefficients.

NO ₂	1									
O ₃	-0.8136	1								
RH	0.4989	-0.8149	1							
Temp	-0.5734	0.8765	-0.9337	1						
S. R	-0.4765	0.7771	-0.6216	0.6679	1					
HNO ₃	-0.3031	0.6767	-0.5735	0.6047	0.8270	1				
NO ₃ ⁻	0.1711	-0.1357	0.6890	-0.6333	-0.7728	-0.6229	1			
SO ₄ ²⁻	-0.1319	0.4669	-0.3679	0.4132	0.6899	0.5763	-0.6800	1		
	NO ₂	O ₃	RH	Temp	S. R	HNO ₃	NO ₃ ⁻	SO ₄ ²⁻		

HNO₃은 주로 주간에 생성되지만 일사량이 전혀 없는 야간 및 이른 아침에도 평균 3.50 $\mu\text{g}/\text{m}^3$ 존재하였다. 야간에 대기중에서 생성되는 HNO₃는 O₃와 NO₂가 반응하여 NO₃를 생성하고 이것이 다시 NO₂와 반응하여 N₂O₅를 생성하며 이 N₂O₅와 대기중의 수증기가 반응하여 HNO₃를 생성하기 때문이다. 실제로 기간중에는 야간에도 O₃가 평균 약 8ppb정도 존재하므로 야간의 HNO₃는 이 메카니즘에 의하여 생

성된 것으로 생각된다(J. A. Ritter et al., 1979).

입자상 nitrate(NO₃⁻) 농도와 일사량, 기온 및 습도사이의 상관계수는 각각 -0.7728, -0.6333 및 0.6890으로 입자상 nitrate(NO₃⁻)농도와 일사량, 기온과는 역상관성을 보였고 습도와는 큰 상관성을 나타내어 입자상 nitrate(NO₃⁻)농도는 기온이 낮고 습도가 높은 야간 및 이른 아침에 높았고 일사량이 많아 기온이 높고 습도가 낮은 주간에는 낮았다.

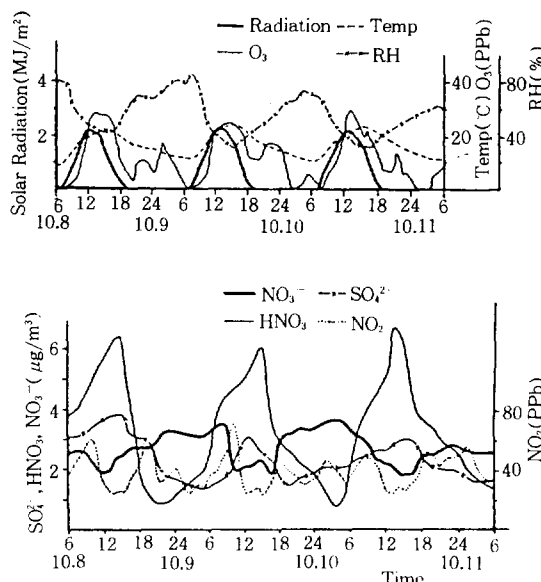


Fig. 2. Variations of solar radiation, RH, temperature, NO_2 , O_3 , HNO_3 , NO_3^- and SO_4^{2-} concentration.

입자상 nitrate(NO_3^-)농도가 주간보다 기온이 낮고 습도가 높은 야간 및 이른 아침에 높은 것은 기온이 낮아지면 액적에 대한 NO_2 의 용해도가 커지기 때문이다. 뿐만아니라 대기중에 부유하고 있는 aerosol에 수증기가 응결하여 수분이 많은 액적을 형성하므로써 NO_2 의 용해를 용이하게 하기 때문으로 생각된다(P. Middleton et al., 1979).

입자상 nitrate(NO_3^-)는 NO_2^- 가 H_2O_2 , O_3 및 O_2 등의 산화에 의하여 생성되기도 한다. H_2O_2 는 산화력은 강하나 광화학 활성이 큰 주간에 생성되는 과산화물로 야간에는 그 농도가 거의 존재하지 않으며 O_2 는 산화력이 약하여 NO_2^- 산화에는 별 기여를 하지 못하는 것으로 알려져 있다. 그러나 O_3 는 산화력도 를 뿐만아니라 실험 기간중의 야간에도 평균 8ppb정도 존재하고 있으므로 NO_2^- 산화에는 그 기여도가 클 것으로 사료된다(P. Middleton et al., 1979 ; 板本和彥, 1981). 그러나 입자상 nitrate(NO_3^-)와 O_3 농도 사이의 상관계수는 -0.1357로 상관성이 아주 적게 나타나 이 메카니즘이 입자상 nitrate(NO_3^-)생성에 미치는 기여도는 아주 미미한 것으로 나타났다.

또 입자상 nitrate(NO_3^-)는 주간에 생성된 HNO_3 가 해염입자 및 토양입자등과 반응하여 생성되기도 하는데 서울시 부유분진중의 해염입자의 기여도는 계절에 따라 다소의 차이는 있으나 대략 3-11%

정도이며(강 병욱, 1980), 토양 기여율은 20-40% 정도이므로(신 은상, 1990) 이 생성메카니즘에 의한 입자상 nitrate(NO_3^-)양도 상당히 많을 것으로 생각된다(角 脇怜, 1980 ; J. P. Milford et al., 1987 ; A. E. Orel et al., 1977 ; C. W. Spicer et al., 1982).

입자상 nitrate(NO_3^-)농도와 Sulfate(SO_4^{2-})농도 사이의 상관계수는 -0.6800으로 역상관관계를 보였고 Sulfate농도와 일사량간의 상관계수는 0.6899로 큰 상관성을 나타내었다. 광화학 활성이 큰 주간에 생성된 H_2SO_4 는 입자상 nitrate(NO_3^-)와 반응하여 Sulfate와 HNO_3 를 생성하므로 주간에 NO_3^- 가 감소되고 HNO_3 가 증가하는 중요한 원인이 된다고 생각된다(J. G. Calvert et al., 1983 ; B. R. Appel, 1980).

HNO_3 와 입자상 nitrate(NO_3^-)농도 사이의 상관계수는 -0.6299로 역상관관계를 나타내었는데 일사량이 많고 기온이 높으면 습도가 낮은 주간에는 HNO_3 농도가 높고 입자상 nitrate(NO_3^-)농도는 낮았으며, 습도가 높고 기온이 낮은 야간 및 이른 아침에는 NO_3^- 농도가 높고 HNO_3 농도가 낮아 HNO_3 생성 조건은 입자상 nitrate(NO_3^-) 감소의 원인이 되고 입자상 nitrate(NO_3^-) 생성 조건은 HNO_3 감소 원인이 되어 HNO_3 와 NO_3^- 의 생성메카니즘은 서로 반대임을 알았다.

NO_2 농도와 HNO_3 및 NO_3^- 농도 사이의 상관계수는 각각 -0.3031과 0.1711로 별 상관이 없었다. NO_2 가 HNO_3 및 NO_3^- 의 선구물질이나 이들 사이에 별 상관성이 보이지 않는 것은 Nitrate생성은 O_3 , 일사량, 기온 및 습도등의 기상인자 및 다른 대기오염물질과의 상호 반응 및 작용에 의하여 생성되기 때문에 이러한 여러 인자들의 농도 변화에 크게 좌우되기 때문으로 생각된다.

표 3 및 그림 3은 NO_x 에서 Nitrate로의 변환율을 나타낸 것으로 변환율의 계산식은 식(1), (2) 및 (3)과 같다(板本和彥, 1981).

$$F_n = \frac{[\text{HNO}_3-\text{N}] + [\text{NO}_3^--\text{N}]}{[\text{NO}-\text{N}] + [\text{NO}_2-\text{N}] + [\text{HNO}_3-\text{N}] + [\text{NO}_3^--\text{N}]} \quad (1)$$

$$F_n' = \frac{[\text{HNO}_3-\text{N}]}{[\text{NO}-\text{N}] + [\text{NO}_2-\text{N}] + [\text{HNO}_3-\text{N}] + [\text{NO}_3^--\text{N}]} \quad (2)$$

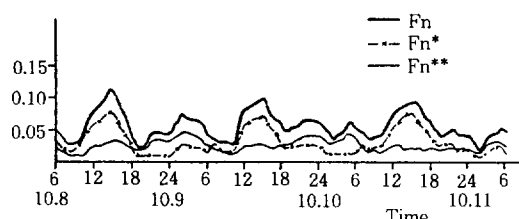
$$F_n'' = \frac{[\text{NO}_3^--\text{N}]}{[\text{NO}-\text{N}] + [\text{NO}_2-\text{N}] + [\text{HNO}_3-\text{N}] + [\text{NO}_3^--\text{N}]} \quad (3)$$

NO_x 에서 총 Nitrate($\text{HNO}_3 +$ 입자상 nitrate(NO_3^-))로의 변환율인 F_n 은 평균 5.60%/hr, HNO_3 로의 변환율인 F_n' 는 평균 3.01%/hr, 그리고 NO_3^- 로의 변환율인 F_n'' 는 평균 2.59%/hr이므로 HNO_3 로의 변

Table 3. Conversion rate of NO_x to HNO₃ and Particulate nitrate(NO₃⁻).

(Unit : %/hr)

No	Fn	Fn'	Fn''	No	Fn	Fn'	Fn''	No	Fn	Fn'	Fn''
1	3.02	1.81	1.21	9	3.96	2.21	1.75	17	4.57	2.37	2.20
2	2.15	1.18	0.97	10	3.05	2.11	0.94	18	4.76	3.11	1.65
3	7.74	5.66	2.08	11	7.79	5.64	2.15	19	8.31	5.61	2.70
4	11.56	8.22	3.34	12	10.49	7.61	2.88	20	10.83	8.49	2.34
5	8.20	5.13	3.07	13	8.01	5.46	2.55	21	7.91	5.77	2.14
6	3.89	0.85	3.04	14	5.65	2.59	3.06	22	4.90	2.85	2.05
7	3.78	0.88	2.90	15	6.35	2.42	3.93	23	4.47	2.33	2.14
8	5.76	2.02	3.74	16	4.85	1.22	3.63	24	3.61	1.50	2.11
Average									5.60	3.01	2.59

**Fig. 3.** Conversion rate of NO_x to HNO₃ and Particulate nitrate(NO₃⁻).

환율이 입자상 nitrate(NO₃⁻)로의 변환율보다 1.2 배 더 컸다. Fn은 광화학 활성이 큰 주간에는 평균 변환율이 7.57%/hr로 높았으나 야간에는 평균 4.79%/hr로 낮아서 주간에 NO_x에서 Nitrate로의 변환율이 컸다.

주간에는 NO_x에서 가스상 Nitrate(HNO₃)로의 변환율(Fn')이 5.33%/hr로 입자상 Nitrate(NO₃⁻)로의 변환율(Fn'') 1.70%/hr보다 3.1배 더 커서 주간에는 NO_x가 주로 HNO₃로 변환되며, 야간에는 Fn''이 3.09%/hr로 Fn' = 2.23%/hr보다 1.4배 더 커서 NO_x가 주로 NO₃⁻로 변환되었다.

4. 결 론

1991년 10월 3일부터 10월 11일까지 2단 포집기를 사용하여 서울시 성동구 모진동 소재 건국대학교에서 가스상 nitrate(HNO₃) 및 입자상 nitrate(NO₃⁻)생성에 관하여 연구한 결과 다음과 같은 결론을 얻었다.

1. 가스상 nitrate(HNO₃)는 일사량이 많고 기온이 높으며 습도가 낮은 주간(09:00-17:00시)에는 농도가 평균 9.93 $\mu\text{g}/\text{m}^3$ 로 높고 야간 및 이른 아침(20:00-06:00시)에는 평균 3.50 $\mu\text{g}/\text{m}^3$ 로 농도

가 낮았다. 주간에 가스상 nitrate의 생성에 영향을 미치는 인자는 O₃농도, 일사량 및 기온으로서 NO₂의 기상균일반응에 의한 것으로 사료된다.

2. 입자상 nitrate(NO₃⁻)는 일사량이 많아 기온이 높고 습도가 낮은 주간에는 4.31 $\mu\text{g}/\text{m}^3$ 로 그 농도가 낮았으나 습도가 높고 기온이 낮은 야간 및 이른 아침에는 NO₃⁻농도가 6.21 $\mu\text{g}/\text{m}^3$ 로 높았다. 야간에 입자상 nitrate의 생성에는 기온 및 습도의 영향이 커 NO₂의 액적반응에 의하여 생성되는 것으로 사료된다.

3. NO_x에서 총nitrate(HNO₃+입자상 nitrate)로의 변환율을 조사한 결과 주간에는 7.57%/hr로 변환율이 높았으나 야간 및 이른 아침에는 4.79%/hr로 낮아 주간에 변환율이 컸으며 총 Nitrate로의 평균변환율은 5.60%/hr였다. 전체 변환율에 미치는 분율은 주간에는 HNO₃가 5.33%/hr, NO₃⁻가 1.70%/hr로 NO_x가 주로 HNO₃로 변환하였으며, 야간 및 이른 아침에는 HNO₃가 2.23%/hr, 입자상 nitrate가 3.09%/hr로 NO_x는 주로 입자상 nitrate로 변환하였음을 알았다.

참 고 문 헌

- 강 명옥(1988) 도시대기중 해염입자의 부하에 관한 연구, 건국대학교 석사학위논문.
- 김희강, 신상운, 김승학(1986) 도시대기중 황산염과 질산염의 입도분포에 관한 연구, 한국 대기보전학회지, 2(1), 33-39.
- 김희강, 김신도, 이제근, 임제빈(1988) 대기오염과 제어, 동화기술, 15-23, 319-391.
- 동력자원부(1990), 에너지 통계연보.
- 신은상(1990) 대기 부유분진에 대한 토양입자의 기여율에 관한 연구, 건국대학교 석사학위논문.
- 角脇 怜(1980) 名古屋市大氣中における海鹽粒子の

- 舉動, 日本化學會誌, 1, 141-146.
- 板本和彥(1981) 浮游粒子狀物質に關する文獻學的調查, 日本科學技術情報センター, 環境廳委託調査報告書, 89-96.
- Appel, B. R., L. K. Evaldo, M. H. Emanuel, M. H. George and W. Jerome(1978) Sulfate and Nitrate Data from the California Aerosol Characterization Experiment(ACHEX), Environ. Sci. Technol., 12(4), 418-425.
- Appel, B.R., S. M. Wall, Y. Tokiwa and M. Haik (1980) Simultaneous Nitric Acid, Particulate Nitrate and Acidity Measurements in Ambient Air, Atmos. Environ., 14, 549-554.
- Calvert, J. G., W. R. Stockwell(1983) Acid generation in the troposphere by gas-phase chemistry, Environ. Sci. Technol., 17(9), 428A-443A.
- Middleton, P. and C. S. Kiang(1979) Relative Importance of Nitrate And Sulfate Aerosol Production Mechanisms in Urban Atmospheres, Ann Arbor Science, 269-288.
- Milford, J. B. and C. I. Davison(1987) The Sizes of Particulate Sulfate and Nitrate in the Atmosphere-A Review, JAPCA, 37(2), 125-134.
- Miller, D. F. and C. W. Spicer(1975) Measurement of Nitric Acid in Smog, JAPCA, 25(9), 940-942.
- Orel, A. E. and H. Seinfeld(1977) Nitrate Formation in Atmospheric Aerosols, Environ. Sci. Technol., 11, 1000-1007.
- Ritter, J. A., D. H. Stedman and T. J. Kelly(1979) Ground-Level Measurement of Nitric Oxide, Nitrogen Dioxide and Ozone in Rural Air, Nitrogenous Air Pollutants, Ann Arbor Science, 325-343.
- Sander, S. P. and J. H. Seinfeld(1976) Chemical Kinetics of Homogeneous Atmospheric Oxidation of SO₂, Environ. Sci. Technol., 10 (12), 1114-1123.
- Spicer, C. W., J. E. Howes, Jr. T. A. Bishop and L. H. Arnold and R. K. Stevens(1982) Nitric Acid Measurement Methods : An Intercomparison, Atmos. Environ., 16(6), 1487-1500.
- Joh. W(1978) Measurement of the Filtration Efficiencies of Selected Filter Type, Atmos. Environ., 12, 2015-2019.
- Tesch, J.(1979) Selective Collection and Measurement of Particulate Nitrate and Gaseous HNO₃ in Ambient Air, EPA-600/2-79-051, 67-77.
- Wang, C. C., L. I. Davis, Jr. C. H. Wu, S. Japar, H. Niki, B. Weinstock(1975) Hydroxyl Radical Concentration Measured in Ambients Air, Science, 189, 797-800.